

文章编号：1672-8785(2018)12-0008-04

# 用溶胶-凝胶法制备的 Cu<sub>2</sub>Bi<sub>2</sub>Cr<sub>2</sub>O<sub>8</sub>薄膜 及其光学和铁磁性能研究

崔金玉<sup>1</sup> 杨平雄<sup>2,3</sup>

(1. 营口理工学院, 辽宁营口 115014;  
2. 华东师范大学信息科学技术学院电子系, 上海 200241;  
3. 极化材料与器件教育部重点实验室, 上海 200241)

**摘要：**以硝酸铜 Cu(NO<sub>3</sub>)<sub>2</sub> · 3H<sub>2</sub>O、硝酸铬 Cr(NO<sub>3</sub>)<sub>3</sub> · 9H<sub>2</sub>O、硝酸铋 Bi(NO<sub>3</sub>)<sub>3</sub> · 3H<sub>2</sub>O 和乙二醇为原料, 利用溶胶-凝胶工艺在石英衬底上制备了纳米 Cu<sub>2</sub>Bi<sub>2</sub>Cr<sub>2</sub>O<sub>8</sub> 薄膜。通过 X 射线衍射(X-Ray Diffraction, XRD)和拉曼测试对样品进行了表征。结果表明, Cu<sub>2</sub>Bi<sub>2</sub>Cr<sub>2</sub>O<sub>8</sub> 薄膜具有良好的光学特性, 其禁带宽度为 1.49 eV; 在磁性测试方面, Cu<sub>2</sub>Bi<sub>2</sub>Cr<sub>2</sub>O<sub>8</sub> 薄膜呈现出了良好的铁磁性。

**关键词：**溶胶-凝胶法; Cu<sub>2</sub>Bi<sub>2</sub>Cr<sub>2</sub>O<sub>8</sub>; 薄膜; 光学特性; 铁磁性

中图分类号: O469 文献标志码: A DOI: 10.3969/j.issn.1672-8785.2018.12.002

## Optical and Magnetic Properties of Cu<sub>2</sub>Bi<sub>2</sub>Cr<sub>2</sub>O<sub>8</sub> Films by Sol-gel Method

CUI Jin-yu<sup>1</sup>, YANG Ping-xiong<sup>2,3</sup>

(1. Department of Mechanics and Power Engineering, Yingkou Institute of Technology, Yingkou 115014, China;  
2. Department of Electronics, East China Normal University, Shanghai 200241, China;  
3. Key Laboratory of Polar Materials and Devices, Ministry of Education, Shanghai 200241, China)

**Abstract:** Taking Cu(NO<sub>3</sub>)<sub>2</sub> · 3H<sub>2</sub>O, Cr(NO<sub>3</sub>)<sub>3</sub> · 9H<sub>2</sub>O, Bi(NO<sub>3</sub>)<sub>3</sub> · 3H<sub>2</sub>O and ethylene glycol as raw materials, Cu<sub>2</sub>Bi<sub>2</sub>Cr<sub>2</sub>O<sub>8</sub> thin films were fabricated on SiO<sub>2</sub> substrates by a sol-gel process. The thin film samples were characterized by X-ray Diffraction (XRD) patterns and Raman tests. The results showed that the Cu<sub>2</sub>Bi<sub>2</sub>Cr<sub>2</sub>O<sub>8</sub> thin films had good optical properties. Their band gap was 1.49 eV. In the magnetic hysteresis (M-H) loop measurements, the Cu<sub>2</sub>Bi<sub>2</sub>Cr<sub>2</sub>O<sub>8</sub> thin films showed their excellent ferromagnetism.

**Key words:** sol-gel method; Cu<sub>2</sub>Bi<sub>2</sub>Cr<sub>2</sub>O<sub>8</sub>; thin film; optical properties; magnetism

收稿日期: 2018-10-11

基金项目: 国家自然科学基金项目(61376129; 61474045); 营口理工学院优秀教学团队项目(JT201705); 营口理工学院精品资源共享课项目(JP201713)

作者简介: 崔金玉(1972-), 女, 黑龙江绥化人, 副教授, 硕士, 主要研究方向为原子与分子物理、微电子学与固体电子学。

E-mail: cjj8103181@126.com

## 0 引言

铋酸铜( $\text{CuBi}_2\text{O}_4$ )具有尖晶石结构,是一种典型的p型半导体材料,其带隙较宽且光催化性能很好,因而引起了人们的关注。 $\text{CuBi}_2\text{O}_4$ 的介电特性、磁性、光电特性和光学特性已经得到了广泛研究。它不仅在很宽的波长范围内具有超强的可见光响应性能,而且还具有良好的热稳定性和一定程度的发光性能,所以可用作一种有前景的光助催化剂<sup>[1]</sup>。

铬酸铜( $\text{CuCr}_2\text{O}_4$ )也具有尖晶石结构,是一种禁带宽度较小的p型半导体材料。它具有可见光响应催化性较好、结构稳定、带隙窄等优势<sup>[13]</sup>,是探索可见光吸收范围大、量子转换效率高的新型光催化剂的理想材料,因而被广泛用于磁性材料、陶瓷、玻璃和催化剂等方面<sup>[2-3,13]</sup>。

基于合成技术,本文采用溶胶-凝胶法将硝酸铜、硝酸铬和硝酸铋制备成纳米 $\text{Cu}_2\text{Bi}_2\text{Cr}_2\text{O}_8$ 薄膜<sup>[4-8]</sup>,使其具有 $\text{CuBi}_2\text{O}_4$ 和 $\text{CuCr}_2\text{O}_4$ 二者的更优良性能。

## 1 实验过程

### 1.1 $\text{Cu}_2\text{Bi}_2\text{Cr}_2\text{O}_8$ 薄膜的制备

首先将一定量的硝酸铜 $\text{Cu}(\text{NO}_3)_2 \cdot 3\text{H}_2\text{O}$ 、硝酸铬 $\text{Cr}(\text{NO}_3)_3 \cdot 9\text{H}_2\text{O}$ 和硝酸铋 $\text{Bi}(\text{NO}_3)_3 \cdot 3\text{H}_2\text{O}$ 按摩尔比3:2:2溶于乙二醇中,配成10 mL浓度比为0.3 mol/L:0.2 mol/L:0.2 mol/L的溶液,并加入2 mL乙酰丙酮作为催化剂。室温下,在磁力搅拌器中将其搅拌90 min,再置于室温12天,陈化后成为溶胶。图1为此工艺过程的示意图。

在KW-4A型台式匀胶机中,采用旋涂法对经过上述配置的溶胶进行甩胶。将转速设为3000 r/s,并选用玻璃衬底。甩胶25 s后形成湿膜,然后将其放在KTP-500 RAPID THERMAL PROCESSOR退火炉中退火8 min(退火温度设置为750℃)。重复上述步骤,反复涂层、退火,最终得到750℃下所需要的薄膜。

### 1.2 表征

在所有样品薄膜的结构测定中,利用

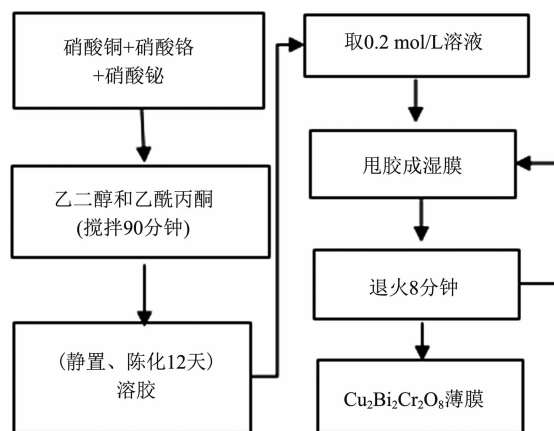


图1 生产的工艺流程

Bruker D8衍射计Cu源Ka辐射( $k=0.154\text{ nm}$ )进行XRD测试,并采用拉曼测试仪(Jobin-Yvon LabRAM HR 800UV)测试拉曼散射光谱。使用透射光谱(UV/Vis Lambda 2S, Perkin-Elmer)完成薄膜的光学特性测定,并采用综合物性测试系统(Physical Property Measurement System, PPMS)测试样品的铁磁性。所有样品测试均在室温下进行。

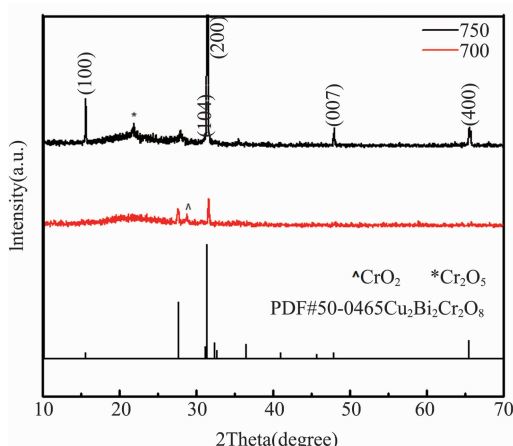
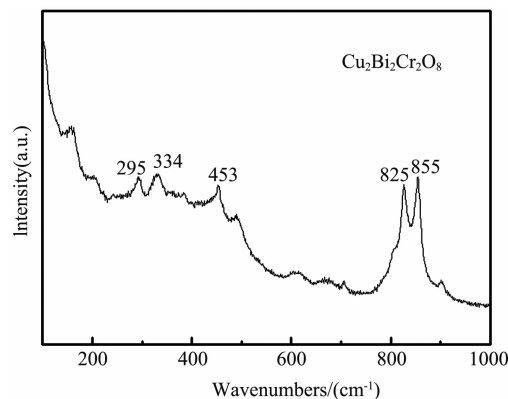
## 2 结果与讨论

### 2.1 XRD测试结果

对前面实验所得的薄膜进行了XRD测试。图2所示为测试结果,与标准卡PDF # 50-0465的 $\text{Cu}_2\text{Bi}_2\text{Cr}_2\text{O}_8$ 衍射峰对应。对700℃和750℃两个温度下的样品XRD衍射峰进行了比较。从图2中可以看出,750℃时主峰(200)位置( $2\theta=31.384$ )上的峰值远远超出700℃时的峰值,并且还出现了(100)、(104)、(007)、(400)峰,而这几个衍射峰在700℃时未曾出现。由此可见,随着温度的升高,峰值趋于明显。但是, $2\theta=27.663$ 处的峰值(标准卡中未查出晶面指数)在700℃时较为明显,而在750℃时却很小。

### 2.2 拉曼测试

图3所示为 $\text{Cu}_2\text{Bi}_2\text{Cr}_2\text{O}_8$ 薄膜(750℃)的拉曼谱。通过拉曼测试可知,薄膜中主峰在 $855\text{ cm}^{-1}$ 和 $825\text{ cm}^{-1}$ 处所对应的强度较大,另外还有三个峰值( $453\text{ cm}^{-1}$ 、 $334\text{ cm}^{-1}$ 和 $295\text{ cm}^{-1}$ )

图2 Cu<sub>2</sub>Bi<sub>2</sub>Cr<sub>2</sub>O<sub>8</sub>薄膜的XRD图谱图3 Cu<sub>2</sub>Bi<sub>2</sub>Cr<sub>2</sub>O<sub>8</sub>薄膜的拉曼图

也较为明显。查阅关于 Cu<sub>2</sub>Bi<sub>2</sub>Cr<sub>2</sub>O<sub>8</sub>的资料后发现,国内外对 Cu<sub>2</sub>Bi<sub>2</sub>Cr<sub>2</sub>O<sub>8</sub>材料的报道甚是少见。

### 2.3 透射谱图

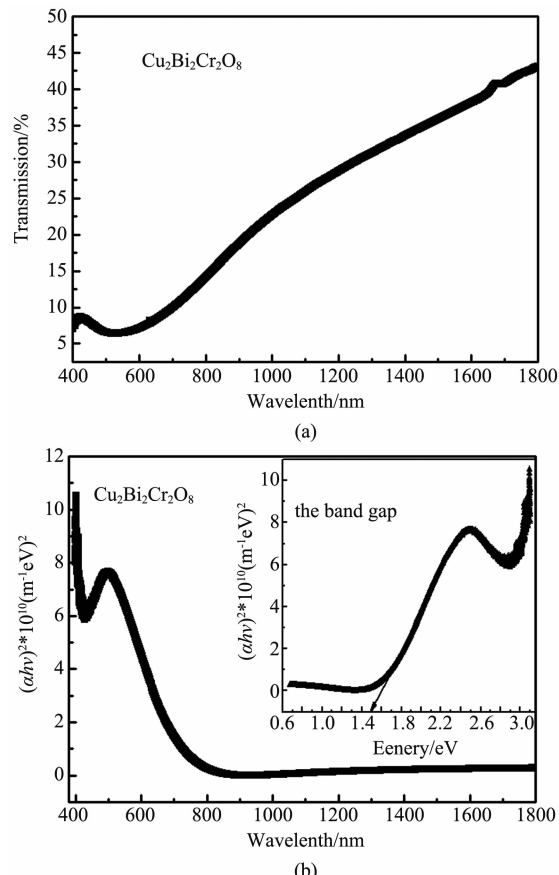
图4所示为750℃合成Cu<sub>2</sub>Bi<sub>2</sub>Cr<sub>2</sub>O<sub>8</sub>薄膜的可见光和红外光区(400~1800 nm)的透射谱线。从图4(a)中可以看出,在550 nm以上的波长区间,透射曲线随波长的增加而均匀上升,且无震荡。图4(b)为用Cu<sub>2</sub>Bi<sub>2</sub>Cr<sub>2</sub>O<sub>8</sub>薄膜的 $(ahv)^2$ 函数来测定光学带隙E<sub>g</sub>的结果图。吸收系数α与波长的关系以及吸收系数与薄膜吸收能量的关系分别为<sup>[10]</sup>

$$\alpha = \frac{1}{d} \ln\left(\frac{1}{T(\lambda)}\right) \quad (1)$$

$$ahv = A(hv - E_g)^n \quad (2)$$

式中, d为薄膜厚度(500 nm); A为常数; E<sub>g</sub>为光学带隙; α为吸收系数; hv为光子能量;

n为常数(n=1/2时为直接带隙, n=2时为间接带隙)。通过对比两种带隙可知,直接带隙具有更好的拟合线性度<sup>[9~11]</sup>。当 $(ahv)^2 = 0$ 时,用线性外推法得到了直接带隙E<sub>g</sub>的值。图4(b)中的插图所示为用线性外推法求E<sub>g</sub>值。由图4(b)可见,Cu<sub>2</sub>Bi<sub>2</sub>Cr<sub>2</sub>O<sub>8</sub>薄膜所对应的光学禁带宽度为1.48 eV,此值尚无文献报道,且小于CuBi<sub>2</sub>O<sub>4</sub>的禁带宽度1.5 eV<sup>[12]</sup>。

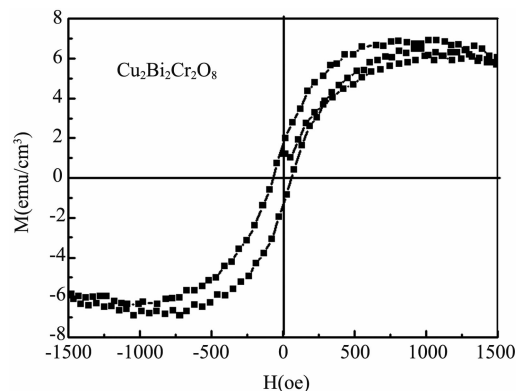
图4 Cu<sub>2</sub>Bi<sub>2</sub>Cr<sub>2</sub>O<sub>8</sub>薄膜的透射图谱

### 2.4 铁磁性测试

图5为Cu<sub>2</sub>Bi<sub>2</sub>Cr<sub>2</sub>O<sub>8</sub>薄膜的750 °C磁滞回线图。可以看出,该薄膜具有矫顽场(大约70oe),其饱和磁矩Ms=6.2 emu/cm<sup>3</sup>。

### 3 结束语

利用溶胶-凝胶工艺在玻璃衬底上制备了Cu<sub>2</sub>Bi<sub>2</sub>Cr<sub>2</sub>O<sub>8</sub>薄膜,并对其光学特性及磁性进行了研究。结果表明,该薄膜仍然具有尖晶石结构的特点,并具有窄带隙以及良好的铁磁性。其光学带隙宽度为1.48 eV,饱和磁矩Ms为

图5  $\text{Cu}_2\text{Bi}_2\text{Cr}_2\text{O}_8$  薄膜的磁滞回线图

6.2 emu/cm<sup>3</sup>。由于比  $\text{CuBi}_2\text{O}_4$  的禁带宽度小,  $\text{Cu}_2\text{Bi}_2\text{Cr}_2\text{O}_8$  薄膜在光催化剂以及光电元件方面比  $\text{CuBi}_2\text{O}_4$  薄膜更具优势。

### 参考文献

- [1] Zhang Y, Xie Y H, Li J, et al. Photocatalytic Activity and Adsorption Performance of p-Cu $\text{Bi}_2\text{O}_4$ /n-TiO $_2$  p-n Heterojunction Composites Prepared by in situ Sol-gel Coating Method [J]. *Journal of Sol-Gel Science and Technology*, 2014, **71**: 38–42.
- [2] 胡志强, 周红茹, 康娇, 等. 尖晶石型  $\text{CuCr}_2\text{O}_4$  纳米粉体的制备及应用 [J]. *陶瓷学报*, 2010, **31**(4): 512–516.
- [3] Yan J H. CuCr $_2\text{O}_4$ /TiO $_2$  Heterojunction for Photocatalytic H $_2$  Evolution under Simulated Sunlight Irradiation [J]. *Solar Energy*, 2009, **83**(9): 1534–1539.
- [4] Bostrom T, Wackelgard E, Westin G. Solution-chemical Derived Nickel-alumina Coatings for Thermal Solar Absorbers [J]. *Sol Energy*, 2003, **74**(6): 497–503.
- [5] Bostrom T, Westin G, Wackelgard E. Optimization of a Solution-chemically Derived Solar Absorbing Spectrally Selective Surface [J]. *Sol Energy Mater Sol Cells*, 2007, **91**(1): 38–43.
- [6] Katumba G, Lu J, Olumekor L, et al. Low Cost Selective Solar Absorber Coatings: Characteristics of Carbon-in-silica Synthesized with Sol-gel Technique [J]. *J Sol-Gel Sci Technol*, 2005, **36**(1): 33–43.
- [7] Vince J, Vuk A S, Krasovec U O, et al. Solar Absorber Coatings Based on CoCuMnO $_x$  Spinel Prepared via the Sol-gel Process: Structural and Optical Properties [J]. *Sol Energy Mater Sol Cells*, 2003, **79**(3): 313–330.
- [8] Bayon R, Vicente G S, Morales A. Durability Tests and Up-scaling of Selective Absorbers Based on Copper-manganese Oxide Deposited by Dip-coating [J]. *Sol Energy Mater Sol Cells*, 2010, **94**(6): 998–1004.
- [9] Cui J Y, Cao H Y, Zhou W L, et al. Composition Dependence of the Structure and Optical Properties of CuCrO $_2$  Powders [J]. *Materials Letters*, 2016, **163**: 28–31.
- [10] 崔金玉, 杨平雄, 褚君浩. Ce 和 Ni 共掺杂 BiFeO $_3$  薄膜的光学和铁磁性能 [J]. *红外与毫米波学报*, 2016, **35**(3): 322–331.
- [11] Basu S R, Martin L W, Chu Y H, et al. Photoconductivity in BiFeO $_3$  Thin Films [J]. *Applied Physics Letters*, 2008, **92**: 091905.
- [12] Qi F, Xu B B, Chu W. Heterogeneous Catalytic Ozonation of Phenacetin in Water Using Magnetic Spinel Ferrite as Catalyst: Comparison of Surface Property and Efficiency [J]. *Journal of Molecular Catalysis A: Chemical*, 2015, **396**: 164–173.
- [13] 胡志强, 周红茹, 康娇. 尖晶石型  $\text{CuCr}_2\text{O}_4$  纳米粉体的制备和吸收 [J]. *陶瓷学报*, 2010, **31**(4): 512–516.